

6. 光化学オキシダント濃度と気象条件について (第1報)

—逆転層とオキシダント濃度の関係—

加藤賢二, 宮永信幸

I 緒 言

福井県では、光化学オキシダントの常時監視が始まった当初において、高濃度が発生しやすい条件について検討し、将来、予測解析を行ううえで、必要な基礎的検討を行って来た。^{1)~3)}

その結果、高濃度になりやすい気象条件としての気圧配置は、移動性高気圧後面型もしくは南高北低型と推定できたが、数量化理論Ⅰ類⁴⁾を用いての解析では、充分な結果が得られなかった。

その後、昭和57年4月7日20時から4月8日5時にかけて、降雨量23.5mm(21時~3時の間)の時、106PPb(坂井局)を最高に、県下全域において、光化学オキシダントとは考えられない高濃度現象が観測され⁵⁾、これを機に光化学オキシダント濃度解析手法のみなおしと、過去における事例の検討を行った。その結果、高層気象(オゾン層を含む)の影響を因子とする解析手法を用いる事が、当県におけるオキシダント濃度を評価する場合、適当であると考えられ⁶⁾、今回は高層気象の影響について検討した結果、若干の知見を得たので報告する。

II 結果と考察

1. 季節および気象条件におけるオキシダント濃度変化のタイプ

図-1に坂井地区、福井地区、南越地区、敦賀地区の代表的な局である坂井局、センター局、鯖江局、敦賀局のオキシダントの時経列グラフを示した。

この図は、おおむね各季節の代表と思われる日の濃度変化のタイプを示したものである。また、図中には風向(坂井局)、風速・天気(福井地方気象台)と三国町に設置してある特殊気象観測局の気温逆転の状況をSIN-S(逆転層の強度)とSIN-T(逆転層のタイプで表示した)。SIN-Sは、-9~9のランクに分割され、-9は最も逆転がない時、9は逆転強度が強い時である(図中、-9は9で表示した)。SIN-Tは、逆転層のタイプであり、地上から、4層(185m)までの温度変化の状況を示しており、右上りの状態の時、逆転層の生成を表わすものである。

この図から、定性的ではあるが、次の事項を推察することができた。

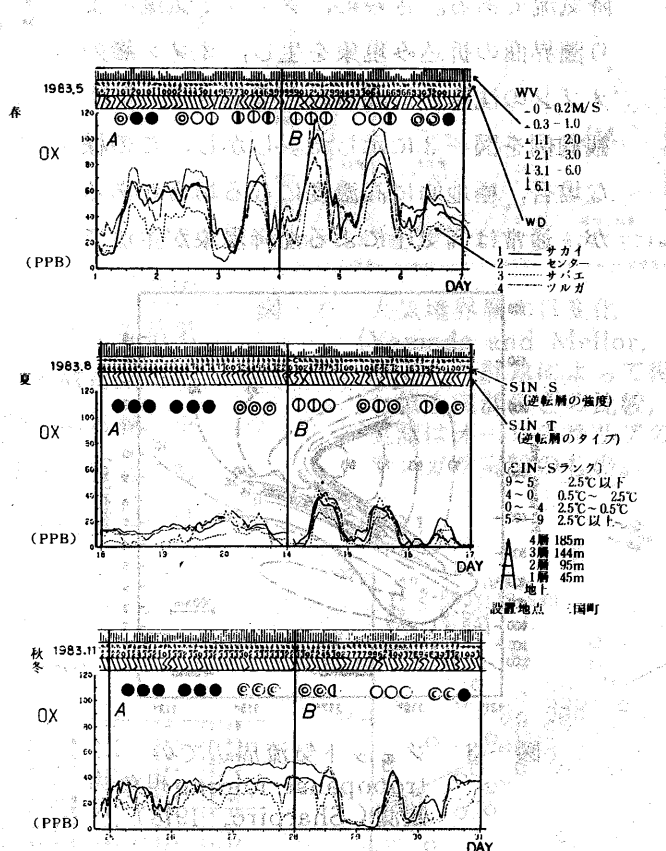


図-1 季節および気象条件におけるオキシダント濃度変化のタイプ
(タイプA: 気温逆転が無い場合)
(タイプB: 気温逆転がある場合)

- ① 季節によるオキシダント濃度の変化は、春が最も高く、秋冬、ついで夏となり、夏期における濃度が最も低い。
- ② 天候による濃度変化はあまり見られない。特に各季節とも雨天時の濃度は、若干低くなる様ではあるが、昼夜の関係がなく、高いレベルで継続する。
- ③ 特殊気象観測局のSIN-Sと濃度変化の関係は、季節により多少の差はあるが、おおむね逆転層が生じている時低くなり（逆転強度が強い時、その影響が強い）、逆に、逆転層が無く、拡散状態が良い時、高くなる傾向が見られる。
- ④ 比較的濃度の高い時の風速は、和風（5.5～7.9 %）状況にあり、③と同様に拡散状態が良い時と考えられる。

①～④の状況は、今まで多く報告されている光化学オキシダント発生機構⁵⁾と異った傾向を示し、前事例報告⁶⁾で示した高層気象の影響を反映した結果であると考えられる。

2. 高層気象と地上オキシダント濃度

地上オキシダント濃度の変化はⅡ-1で示したように、高層気象との関連が強いと考えられるため、Ⅱ-1 ①～④の条件と、高層気象との関連について考えてみた。

(1) ハドレー循環とオゾン層オゾンの沈降
ハドレー循環は、地球規模の大気循環のプロセスであり、図-2にその機構を示した。北緯30°附近における気流の流れは、下降気流である。さらに、ジェット気流により圈界面の折込み現象を生じ、オゾン層のオゾンの沈降が観測された事例も多い^{8) 9)}。観測例を図-3に示した。しかし、この様な場合、極地的に高濃度になる場合があるが、通常は高気圧による沈降現象が主流で

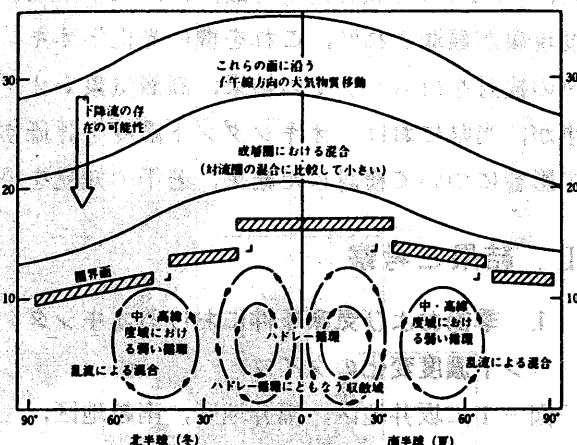


図-2 大気構造模式図 (J: ジェット気流)

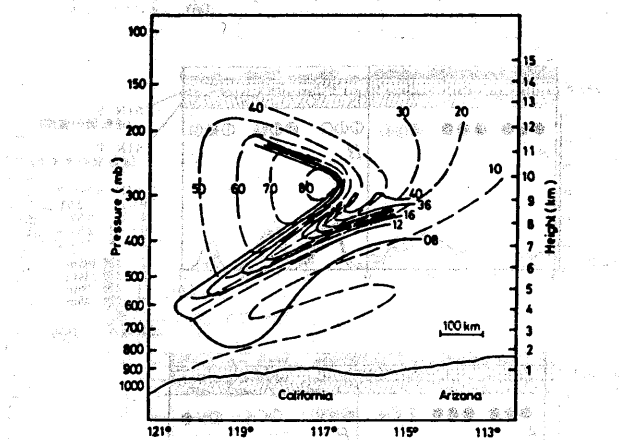


図-3 ジェット気流周辺での tropopause folding 現象の観測 (Shapiro, 1978)

点線はジェット気流の速度（m/sec）の分布を示す。風向は紙面から読者の方向に直角に吹いている。実線はオゾン（pphm）の等濃度線を示し、12 ppm以上 の濃度は成層圏大気を示していると考えられる。

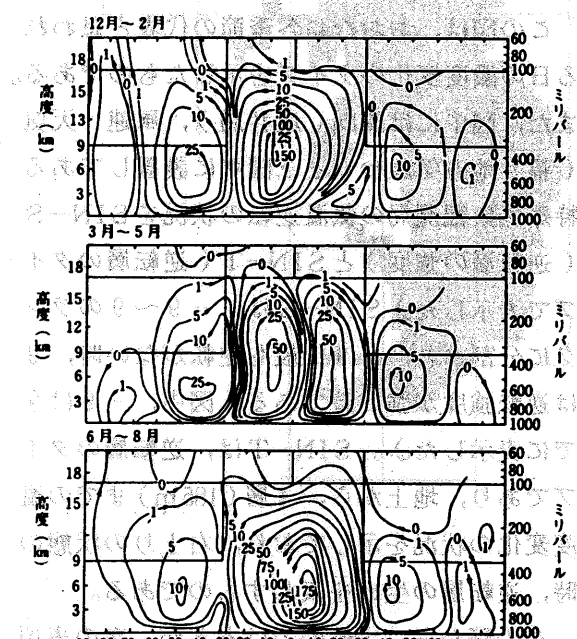


図-4 ハドレー循環の季節変化 (× 10⁶ m³/秒)

あると考えられる。この場合は、ジェット気流による折込み現象時のように、特に高い濃度になる事はまれであるが、頻度的には数多くなり、その結果、平均濃度は上昇する。

また、ハドレー循環の下降気流は、この高気圧の沈降現象をさらに助ける結果となっていると思われるが、ハドレー循環による下降条件は、季節により異なる。

図-4に、その季節変化を示した。図から春秋、冬、夏の順に、下降条件が悪くなっている。これは、II-1-①に示した傾向を定性的に説明できるものと考えられた。

(2) オゾン層の季節変化

II-1-①の現象には、II-2-(1)の条件の他に、オゾン層におけるオゾン濃度の絶対量にも関与するものと思われる。図-5、図-8にオゾン層のオゾン量の変化を示した。北緯36°近辺の変化は、4、5月に最大となり、9、10月ごろに極小となる。この傾向はII-2-(1)の内容と季節的なズレを生じている。ゆえに、II-2-(1)の結果と複合して地上での濃度変化のパターンを推定すると、春、秋冬、夏の順に平均濃度は低くなるものと考えられる。

3. 地上気候(逆転層)と地上オキシダント濃度

II-2の推定から、オゾン層からのオゾンの沈降が考えられたが、地面上でのオキシダント濃度の変化は、II-2の原因の他に別の因子が関与しているように思われる。すなわち、II-1-①～④の現象である。これらの結果は、図-6に示されたように、接地逆転層が生じている時は、上空からの沈降が阻害され、逆転層が解消されると、かなり上空まで上層空気と混合され、オゾン層オゾンの影響を受けると考えられた。

(1) 接地逆転層の強度とオキシダント濃度

接地逆転層の強度 SIN-S (但し、9～-9のランクを1～19のランクに数値変換した)と、各局および、各地区的オキシダント濃度との相関関係を取ると、表-1の結果が得られた。図-7には、三国局4月における散布図である。表-1、図-7は、統計処理結果の一例であるが、全体的に相関係数0.5前後、すべて1%の危険率で有意であった。ちなみに、検体700個以上のデータでは、かなり良

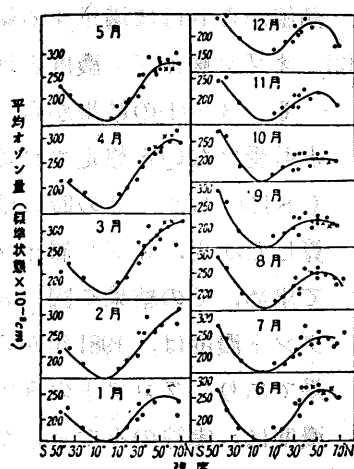


図-5 毎月のオゾン量の緯度分布

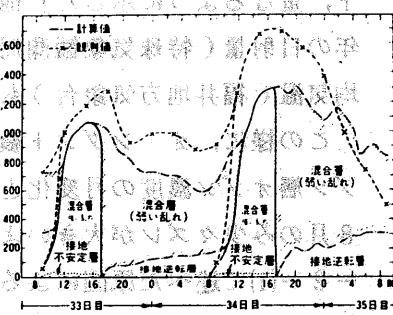


図-6 大気境界層の日変化
(Yamada and Mellor, 1975) 計算によって得た値と実測値との比較、実測はオーストラリアのワングラ実験のもの。

表-1 逆転層強度とオキシダント濃度の関係

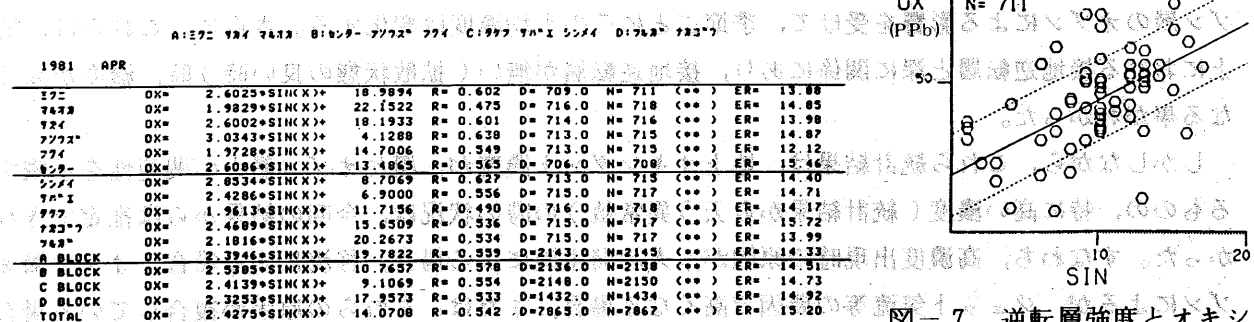


図-7 逆転層強度とオキシダント濃度の関係

い結果である。

この結果から、一応4月における濃度が高くなりやすい時の気象条件での濃度を推定してみると、

$$Ox = 2.43 \times x + 14.07 \quad (ppb) \quad x : SIN-S が 19 の値を代入$$

$$= 60.2 \pm 15.2 \text{ (ppb)}$$

となり、4月(春)における好条件下での濃度は、45.0~75.4 ppbのゾーン内にあると思われ、実測値からもほぼ満足する結果であった。

(2) オゾン層オゾン濃度と地上オキシダント濃度

II-3-(1)の結果から、地上気象の影響をもつとも受けないと想定される時のオキシダント濃度(SIN-S が -9 の時の濃度を II-3-(1)より計算した)と、オゾン層オゾン濃度との関係について求め、その結果を図-8に示した。図中オキシダント濃度は、1981年から1983年までの各月の結果であり、プロットのみである。オゾン層オゾン濃度は、実線のみで示した。この場合、オキシダント濃度と比較しやすいように、スパンおよびゼロ点の位置を移動し、オキシダント濃度のプロット、重なるように示した。他に、1982年から1983年の日射量(特殊気象観測局)と1982年の月別平均気温(福井地方気象台)も同時に示した。

この様に、オキシダント濃度と、各項目との関係はオゾン層オゾン濃度の月変化と最もよく一致した。また、8月のみ少々ズレが大きいように見えるが、これは、II-2-(1)で述べた原因によるものと考えられた。

また、図-9にはオゾン層オゾン濃度と、オキシダント濃度の相関を示したものである。この様に、相関係数 0.8 と(1%危険率で有意)高く、地上でのオキシダント濃度は、オゾン層オゾンの影響をもっとも受けているものと考えられる。

III 結 語

今回の検討結果から、地上オキシダント濃度は成層圏オゾン層のオゾンによる影響を受けて、季節ごとにその平均濃度は変化する。さらに、これらは、地上における接地逆転層と深に関係にあり、接地逆転層が無い(拡散状態の良い時)時、濃度が高くなる事がわかった。

しかしながら、これら統計結果は、地上オキシダント濃度が、概ねオゾン層との関連性を示唆するものの、特に高い濃度(統計結果から云う異常値)の時の状況は、今回の結果からは推定できなかった。すなわち、高濃度出現時の原因が、人的発生源による場合、移流による場合、オゾン層オゾンによるが、ジェット気流等の要因で高くなる場合、または、これらの原因が複合している場合など、複雑であり、今後の検討課題として残された。

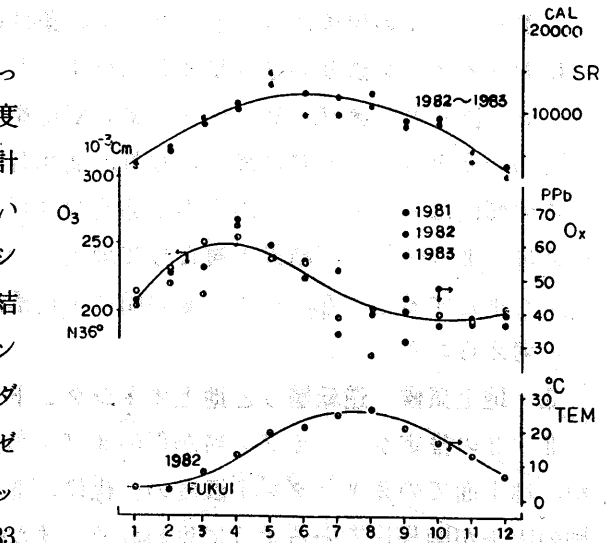


図-8 日射量、気温、オゾン層オゾン濃度とオキシダント濃度

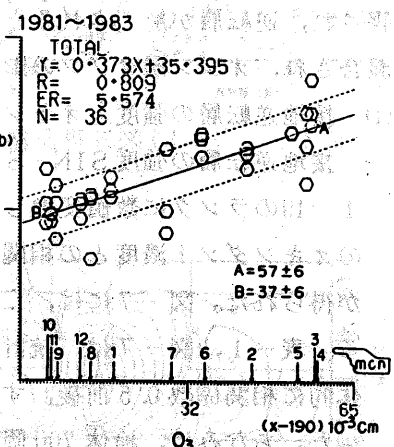


図-9 オゾン層オゾン濃度とオキシダント濃度

参 考 文 献

- 1) 酒井信行他：本報， 6， 115(1976)
 - 2) 酒井信行他：本報， 7， 80(1977)
 - 3) 酒井信行他：本報， 8， 163(1978)
 - 4) 酒井信行他：本報， 9， 119(1979)
 - 5) 加藤賢二他：本報， 12， 155(1982)
 - 6) 加藤賢二他：本報， 13， 120(1983)
 - 7) 北川徹三：光化学スモッグの新解析，(1982)安全工学協会
 - 8) 村松久央：公害と対策，Vol 17 No 10 P 905
 - 9) 村尾直人：天氣，29，63(1982)

左側の土壌風化度を示す。右側の地図は、その開拓段階の地理的分布を示す。

後者をも取る所の用す「モチーセ」
は、日本種類の脚輪車に於ける「輪轂の部」
の事である。前記の脚輪車の車輪の輪轂
は、車輪の輪轂の外側に於ける「モチーセ」
の事である。

（上）「大正の文部省圖書監修官」（下）「大正の文部省圖書監修官」

(上部) 横断面を以て示す。左側は右側に於ける骨頭の位置を示す。

卷之三

図一三一、雄性の外生殖器。左は右側の外側面を示す。右は左側の内側面を示す。左の示す非勃起の状態では、外陰部の小突起はよく見えないが、勃起した場合には、この突起が外陰部の外側面に現れる。